

Trabalho Nº2



UNIVERSIDADE DE COIMBRA

Licenciatura em Engenharia Informática

Grupo 13

David Rafael Ferreira Gomes Nº 2013136061

João Assafrão Craveiro Nº 2013136429

Rui Pedro Pereira Mendes Nº 2013136967

Exercício 1

Dados:

$$Y[n] = b2 \times x[n-2] + b3 \times x[n-3] + b4 \times x[n-4] + b5 \times x[n-5] - a1 \times y[n-1] - a2 \times y[n-2] - a3 \times y[n-3]$$

$$b2 = 0, b3 = 0.3137, b4 = 0, b5 = -0.1537, a1 = -2.3000, a2 = 1.7400, a3 = -0.4320$$

1.1)

A partir da equação do sistema, é possível obter a função de transferência do sistema ($G(Z)$):

$$Y(z) \times (a1 \times z^{-1} + a2 \times z^{-2} + a3 \times z^{-3}) = X(z) \times (b2 \times z^{-2} + b3 \times z^{-3} + b4 \times z^{-4} + b5 \times z^{-5})$$

$$G(z) = \frac{Y(z)}{X(z)} = \frac{b2 \times z^{-2} + b3 \times z^{-3} + b4 \times z^{-4} + b5 \times z^{-5}}{a1 \times z^{-1} + a2 \times z^{-2} + a3 \times z^{-3}}$$

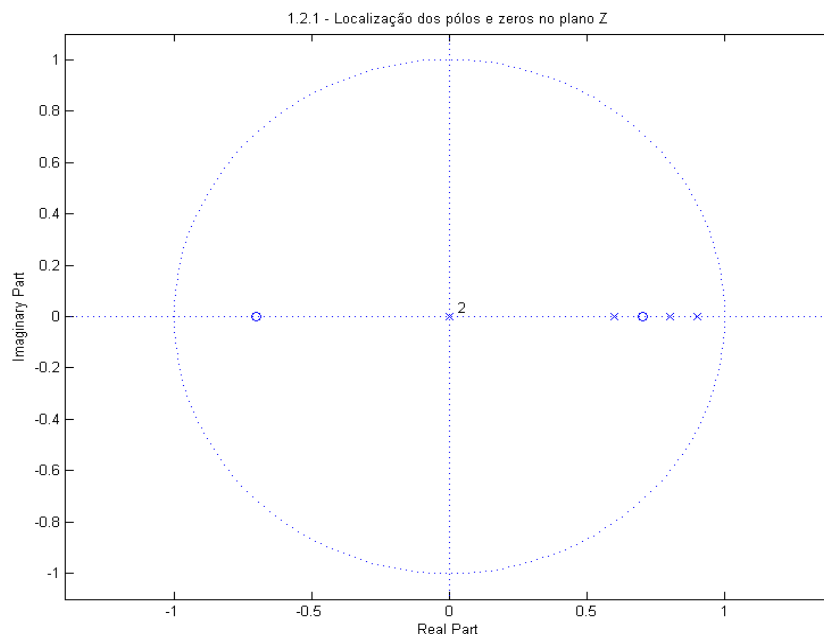
1.2)

1.2.1)

Gráfico da localização dos pólos e zeros, recorrendo à função zplane:

Zeros: 0.7, -0.7

Pólos: 0, 0, 0.9, 0.8, 0.6

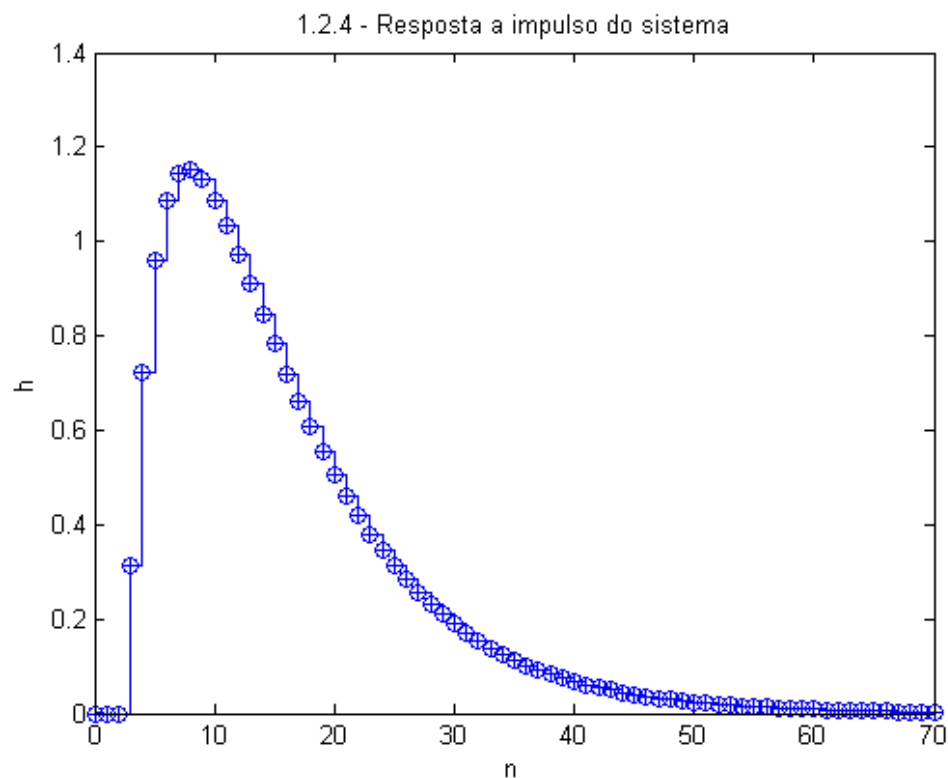


1.2.2) O sistema é estável, porque todos os pólos se encontram dentro do círculo de raio unitário, tal como se pode observar na imagem anterior.

1.2.3) A resposta a impulso do sistema é definida por:

$$\frac{44573 \operatorname{kroneckerDelta}(n-1, 0)}{31104} + \frac{1537 \operatorname{kroneckerDelta}(n-2, 0)}{4320} - \frac{1274 \left(\frac{3}{5}\right)^n}{405} - \frac{11767 \left(\frac{4}{5}\right)^n}{2560} + \frac{100397 \left(\frac{9}{10}\right)^n}{21870} + \frac{17644573 \operatorname{kroneckerDelta}(n, 0)}{5598720}$$

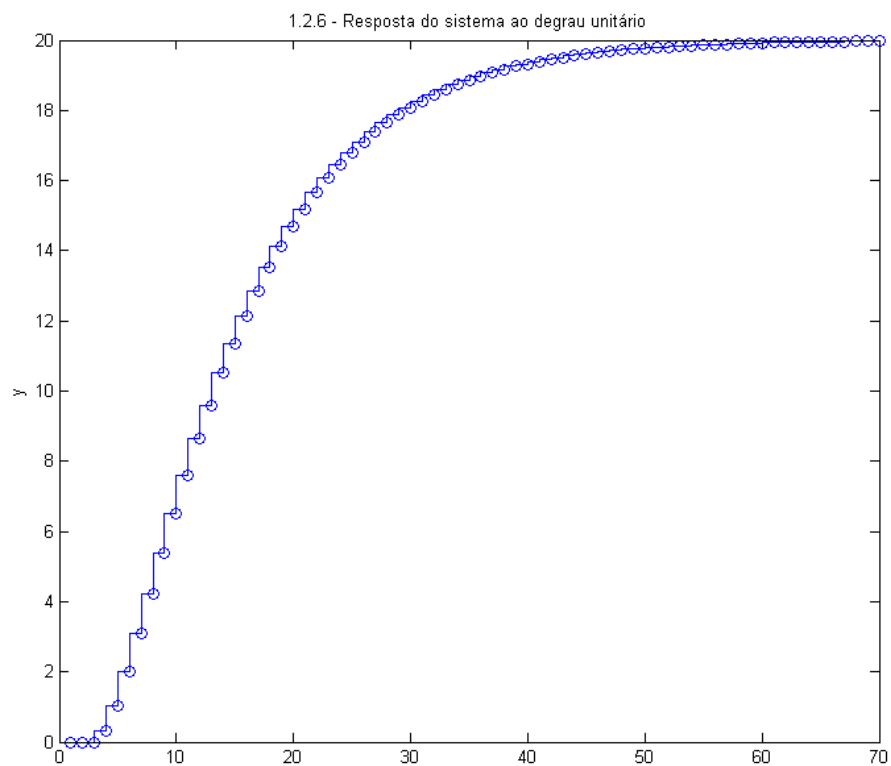
1.2.4) Representação gráfica da sobreposição de $h1[n]$ com $h2[n]$ (função *impz*) e $h3[n]$ (função *dimpulse*):



1.2.5) A resposta do sistema ao degrau unitário é definido pela expressão:

$$\frac{\frac{637}{135} \left(\frac{3}{5}\right)^n - \frac{1537}{4320} \text{kroneckerDelta}(n - 1, 0) + \frac{11767}{640} \left(\frac{4}{5}\right)^n - \frac{100397}{2430} \left(\frac{9}{10}\right)^n}{\frac{278197}{155520} \text{kroneckerDelta}(n, 0)} + 20$$

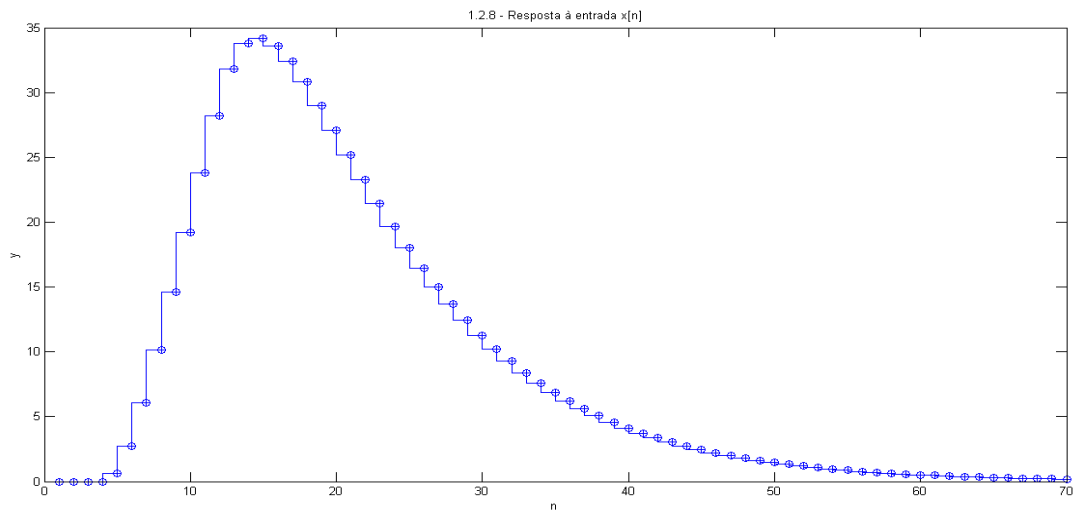
1.2.6) Representação gráfica da sobreposição de $y1[n]$ e $y2[n]$ (função *dstep*):



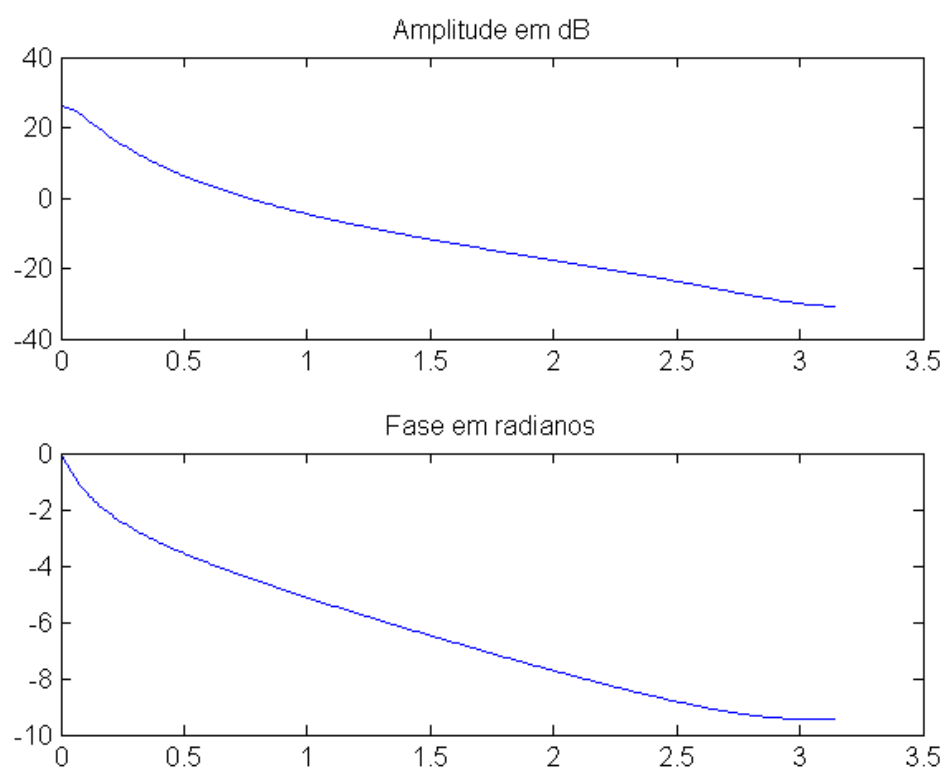
1.2.7) Expressão da resposta do sistema para a entrada $x[n] = 4(u[n-3]-u[n-9])$:

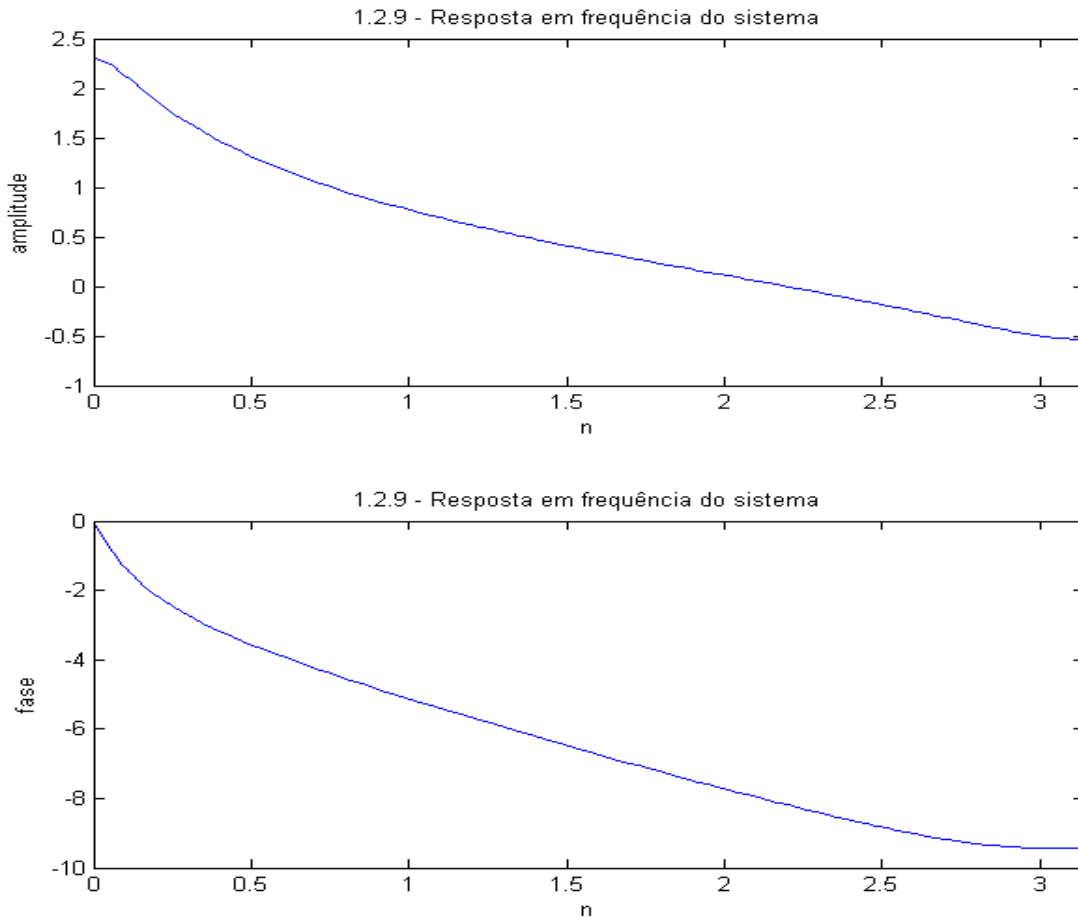
$$\begin{aligned} & \frac{26649927193939190225 \times \delta(n-1)}{21936959649377856} + \frac{450699373255707317 \times \delta(n-2)}{609359740010496} \\ & + \frac{378275404944333 \times \delta(n-3)}{84633297223680} + \frac{625024257170593 \times \delta(n-4)}{2350924922880} + \frac{2002168275905 \times \delta(n-5)}{13060694016} \\ & + \frac{30591957605 \times \delta(n-6)}{362797056} + \frac{436487705 \times \delta(n-7)}{10077696} + \frac{5531933 \times \delta(n-8)}{279936} + \frac{278197 \times \delta(n-9)}{38880} + \frac{1537 \times \delta(n-10)}{1080} \\ & + \frac{948875200 \times (3/5)^n}{531441} + \frac{3391543575 \times (4/5)^n}{8388608} + \frac{18816767169200 \times (9/10)^n}{94143178827} + \frac{1571488642347599688125 \times \delta(n)}{789730223053602816} \end{aligned}$$

1.2.8) Representação gráfica da sobreposição de $y1[n]$ e $y2[n]$ (função *filter*) e $y3[n]$ (função *dlsim*):



1.2.9) Representação gráfica da resposta em frequência do sistema, $H(\Omega)$:





1.2.10) A função `ddcgain()` devolve um ganho de 20.

Pelo teorema do valor final:

$$\lim_{n \rightarrow +\infty} x[n] = \lim_{z \rightarrow 1} (1 - z^{-1}) X(z)$$

$$\lim_{n \rightarrow +\infty} y[n] = \lim_{z \rightarrow 1} (1 - z^{-1}) Y(z)$$

$$Y(Z) = \frac{1}{1 - z^{-1}} \times G(z)$$

Calculando o valor de $\lim_{n \rightarrow +\infty} y[n]$ obtém-se também o valor 20.

Exercício 2

Para este exercício desenvolvemos o script `ex2.m` que ao executar pede ao utilizador o período fundamental a usar. Após introduzido, é apresentado um menu onde pode ser escolhido o tipo de onda a representar. Se a opção escolhida for a de introduzir uma expressão, a mesma deve ser introduzida na

consola no formato de string. O número de amostras usado para definir o sinal é 500. Também foi necessário criar o script *InvFourier*, que transforma os *Cm's* e *tetam's* num sinal aproximado e o script *CoefComp.m* que devolve os coeficientes complexos a partir de *Cm* e *tetam*.

Após escolhida a opção é apresentado na figura 1 a onda, na figura 2 os valores de *Cm* e *Tetam* para $m_{max} = 100$. Seguidamente são apresentados vários gráficos que representam a evolução do sinal aproximado, consoante o aumento de m . Na figura 4 é apresentada a amplitude e fase dos coeficientes *cm*.

2.2.1) Onda quadrada de período 2π :

Fig.1:

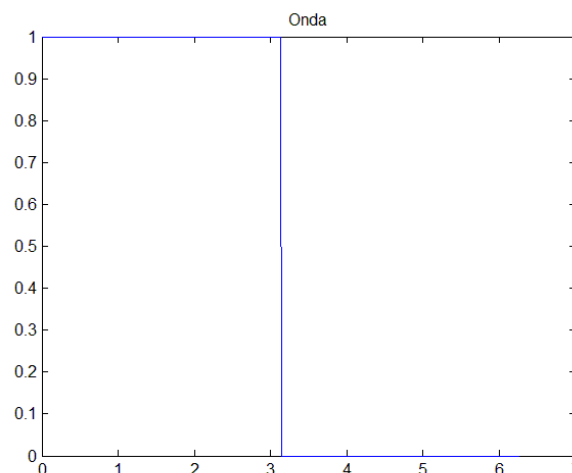


Fig.2:

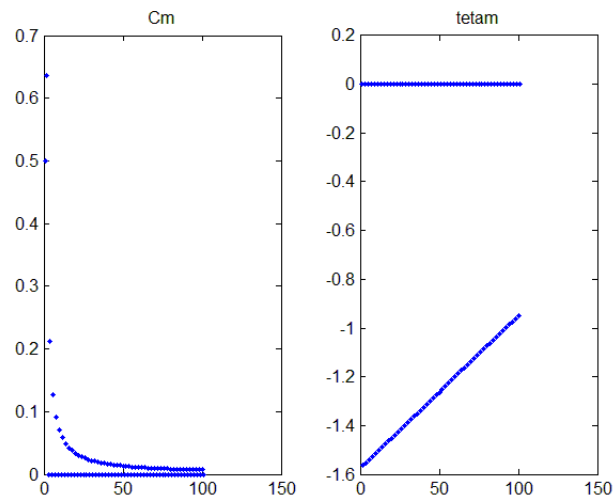


Fig.3:

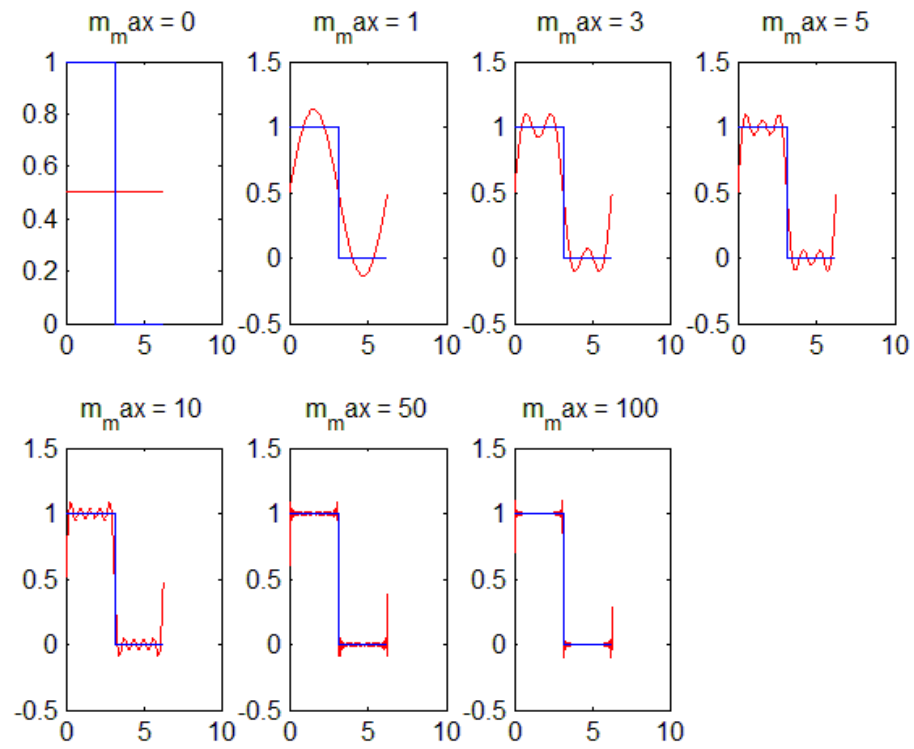
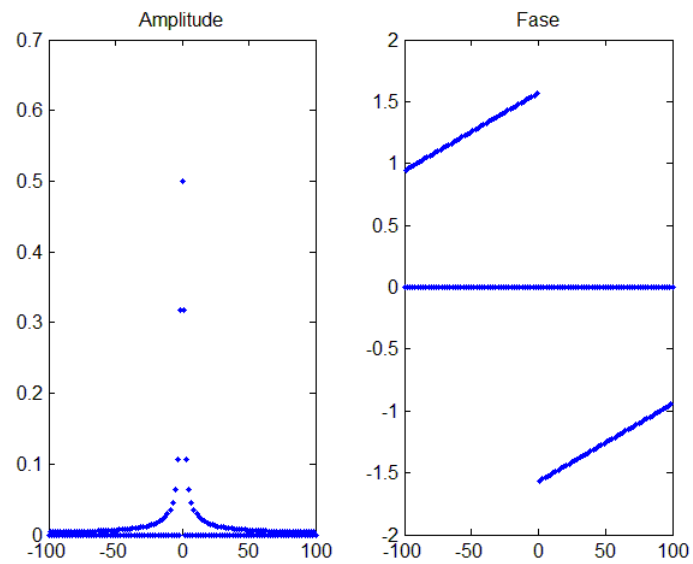


Fig.4:



2.2.2) Onda em dente de serra de período 2π :

Fig.1:

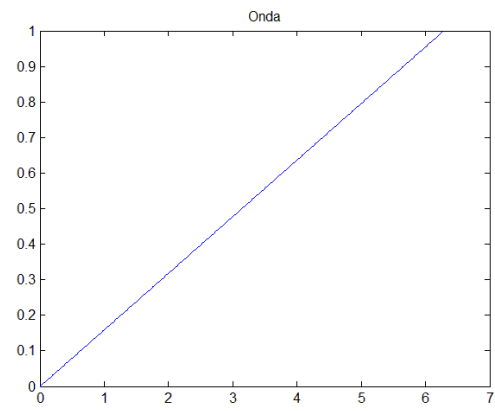


Fig.2:

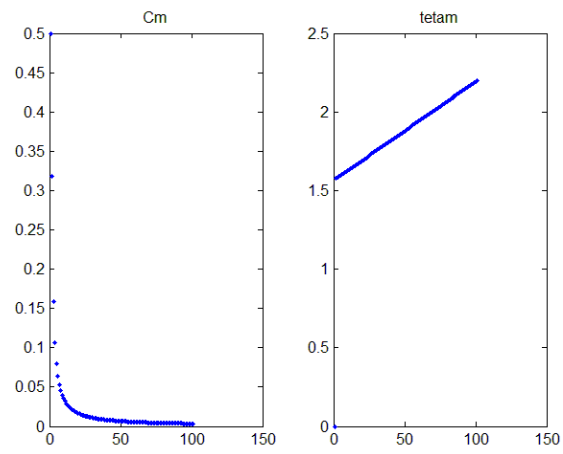


Fig.3:

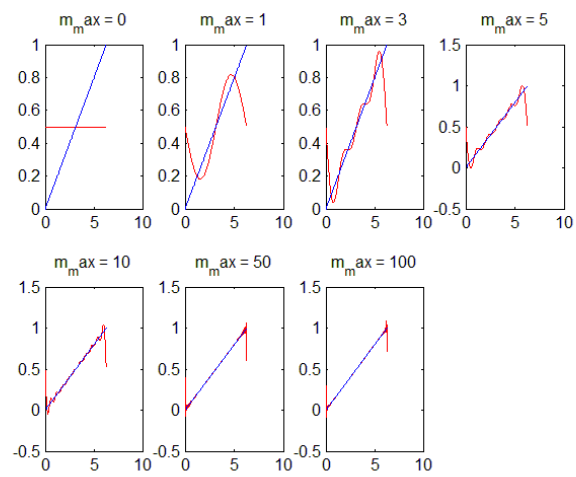
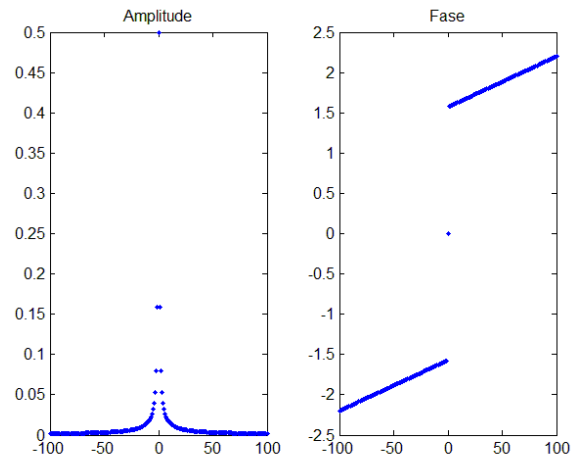


Fig.4:



2.2.3)

Onda $x(t) = 1 + 2\text{mod}(13,2)\sin(12t + \cos(212\text{mod}(14,2)\cos(20t-4))\sin(45t)$

de período $2/3$:

Fig.1:

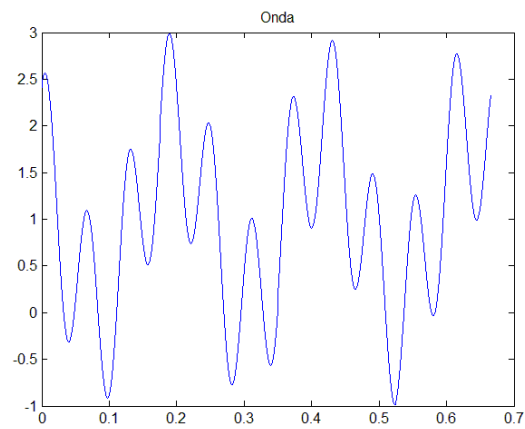


Fig.2 (Nota: a partir de $m=50$ os gráficos estão sobrepostos):

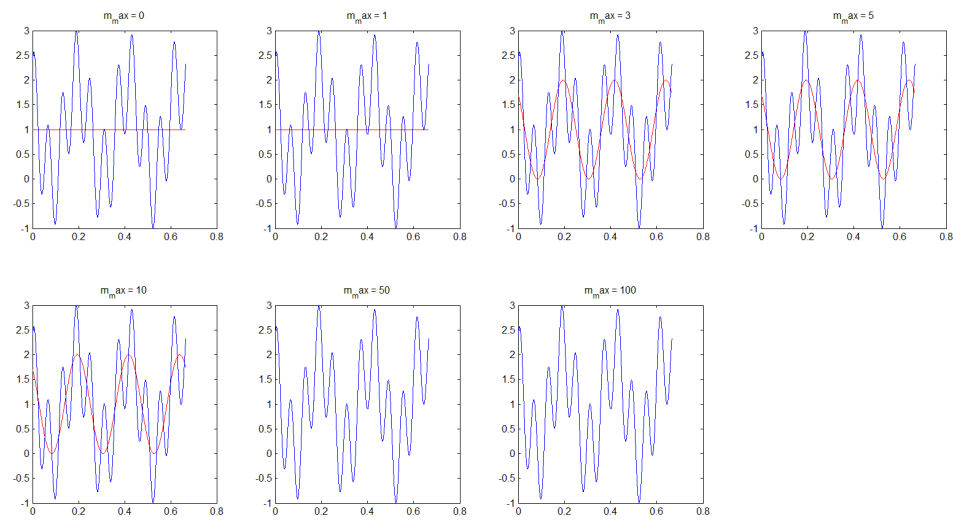


Fig.3:

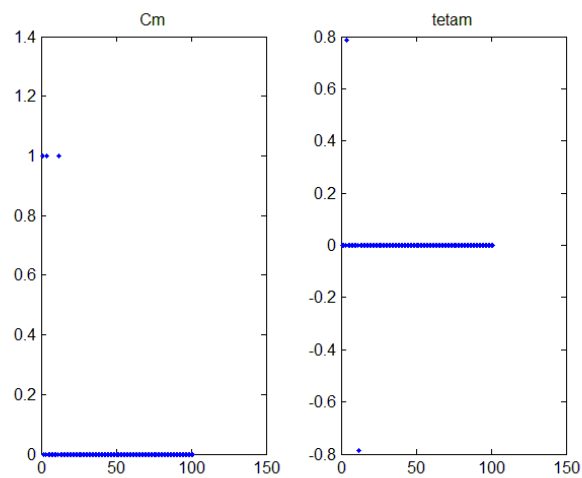
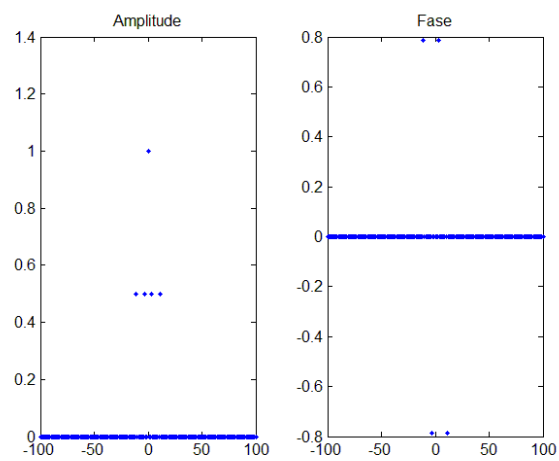


Fig.4:



2.2.4) Onda $x(t) = -2 + 4\cos(4t + \frac{\pi}{3}) - 2\sin(10t)$ de período π :

Fig.1:

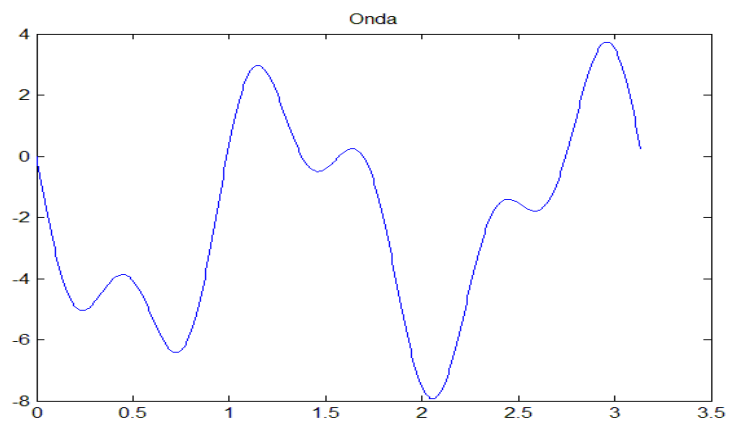


Fig.2:

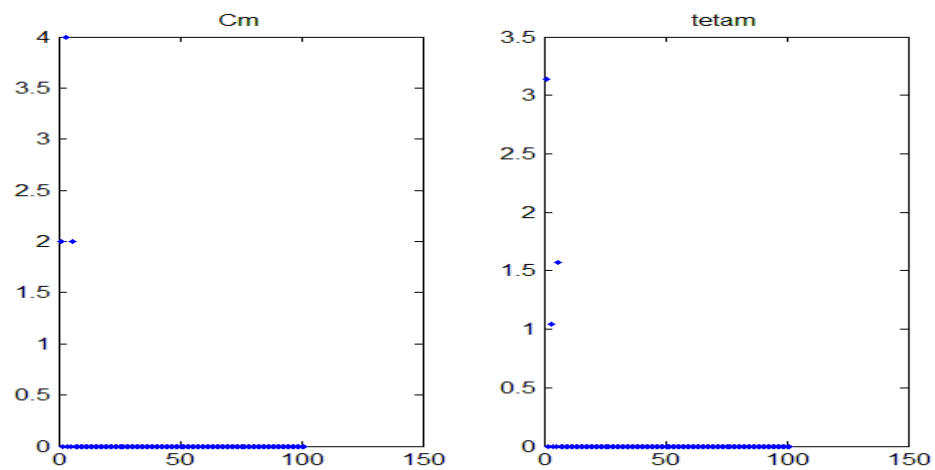


Fig.3 (Nota: a partir de $m=5$ os gráficos estão sobrepostos):

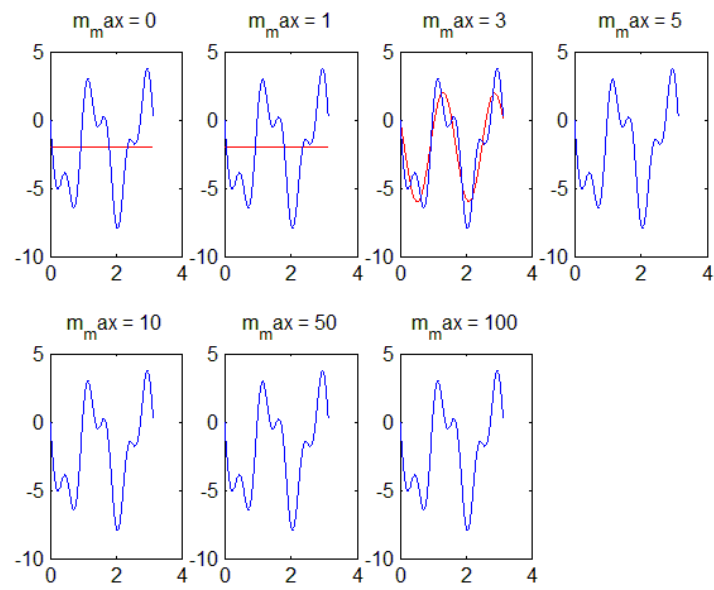
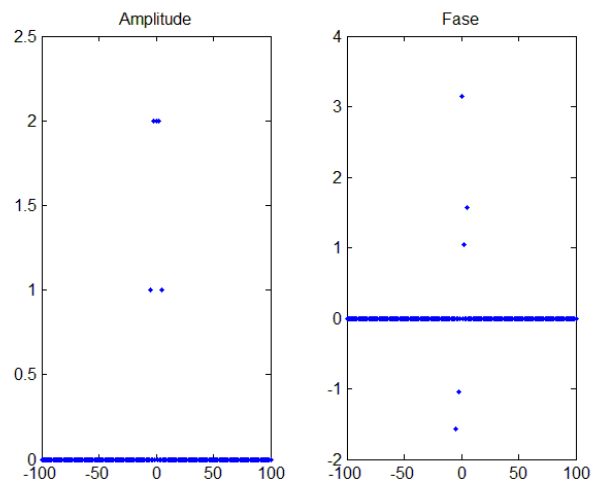


Fig.4:



2.3)

$$x(t)=1+(2\text{mod}(13,2))\sin(12\pi t+\frac{\pi}{4})\cos(21\pi t)+(2\text{mod}(14,2))\cos(20\pi t-4)\sin(45\pi t)$$

$$= 1 + 2 \sin(12\pi t + \frac{\pi}{4})\cos(21\pi t)$$

$$= 1 + (\sin(12\pi t + \frac{\pi}{4} + 21\pi t) - \sin(21\pi t - 12\pi t - \frac{\pi}{4}))$$

$$= \cos(0t+0) + \cos(\frac{\pi}{4} - (33\pi t)) + \cos(\frac{\pi}{4} + 9\pi t)$$

A partir disto temos que $\omega_0 = 3\pi \Leftrightarrow T_0 = \frac{2}{3}$.

Os coeficientes da série de Fourier serão não nulos em:

- $m=0$, com $C_m=1$ e $\theta_m = 0$
- $m=3$, com $C_m=1$ e $\theta_m = \pi/4$
- $m=11$, com $C_m=1$ e $\theta_m = -\pi/4$

$$x(t) = -2 + 4\cos(4t + \frac{\pi}{3}) - 2\sin(10t)$$

$$= 2\cos(\pi) + 4\cos(4t + \frac{\pi}{3}) + 2\sin(-10t)$$

$$= 2\cos(0t + \pi) + 4\cos(4t + \frac{\pi}{3}) + 2\cos(10t + \frac{\pi}{2})$$

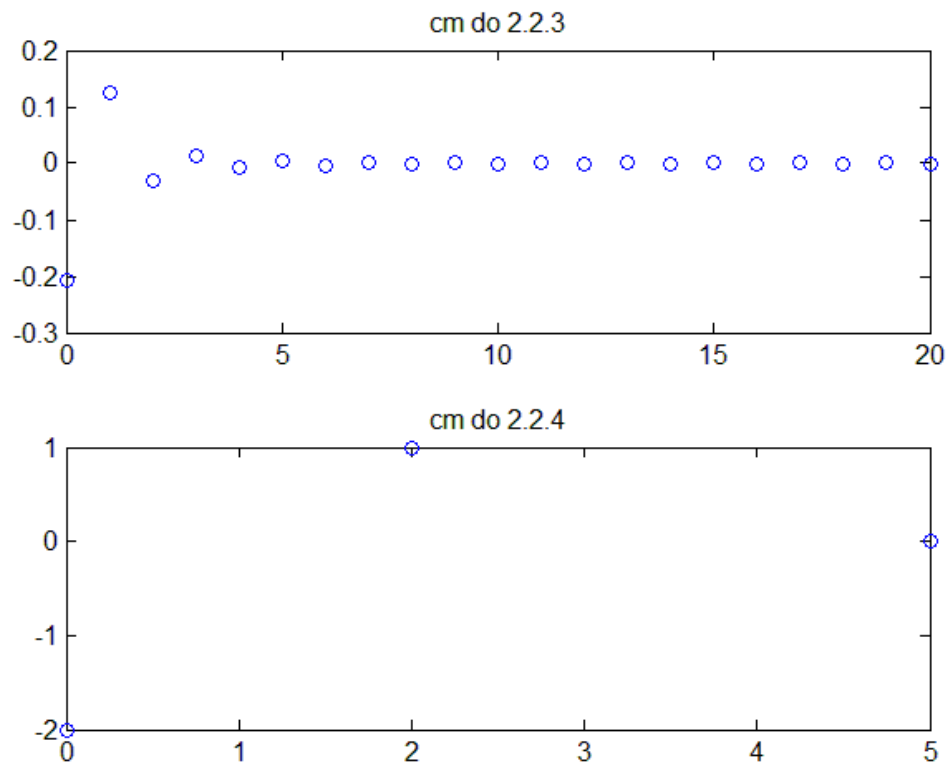
A partir disto temos que $\omega_0 = 2 \Leftrightarrow T_0 = \pi$.

Os coeficientes da série de Fourier serão não nulos em:

- $m=0$, com $C_m=1$ e $\theta_m = \pi$
- $m=2$, com $C_m=1$ e $\theta_m = \pi/3$
- $m=5$, com $C_m=1$ e $\theta_m = -\pi/2$

2.4) Utilizando a expressão dada no enunciado desenvolvemos um script para calcular os coeficientes não nulos da série de Fourier complexa.

$$cm = \frac{1}{T_0} \int_{-\frac{T_0}{2}}^{\frac{T_0}{2}} x(t) e^{-km\omega_0 t} dt$$

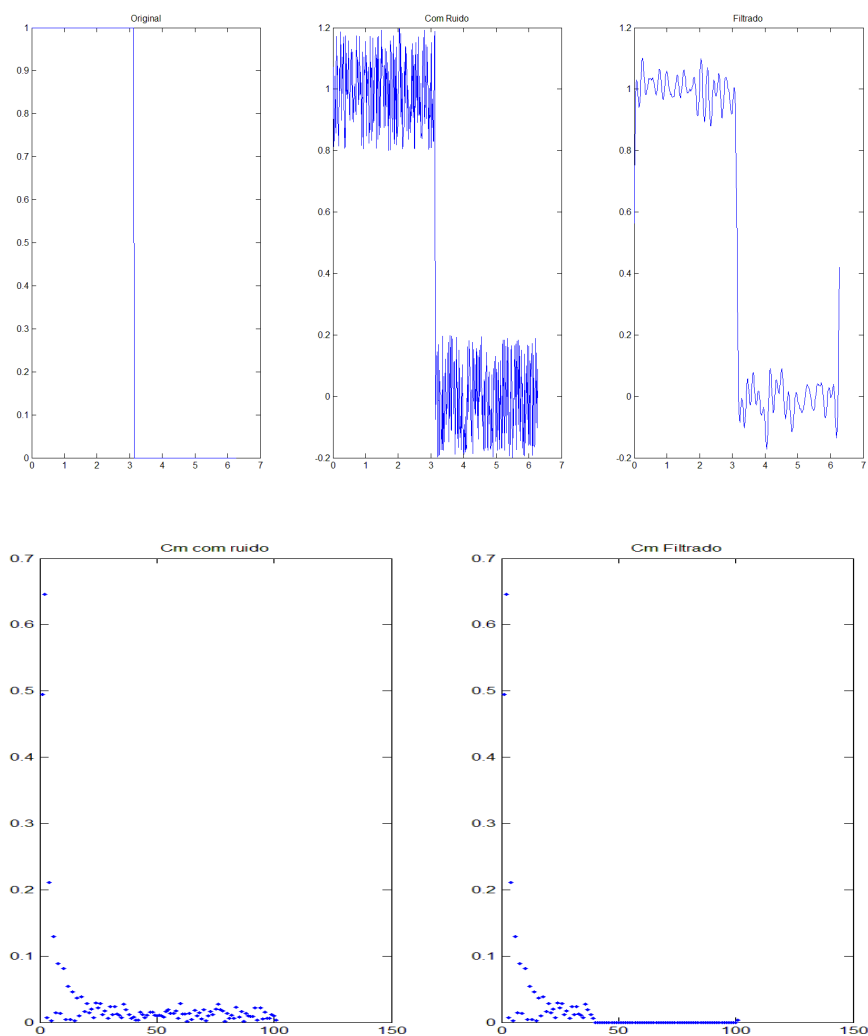


Exercício 3

Para dar resposta às questões das alíneas 3.1.x desenvolvemos o script ex3.m. Ao correr é nos apresentado o mesmo menu de escolha de onda do exercício 2, seguidamente de um menu em que se pode escolher o tipo de ruído e o filtro a aplicar. A frequência introduzida definimos como sendo o m a remover dos coeficientes.

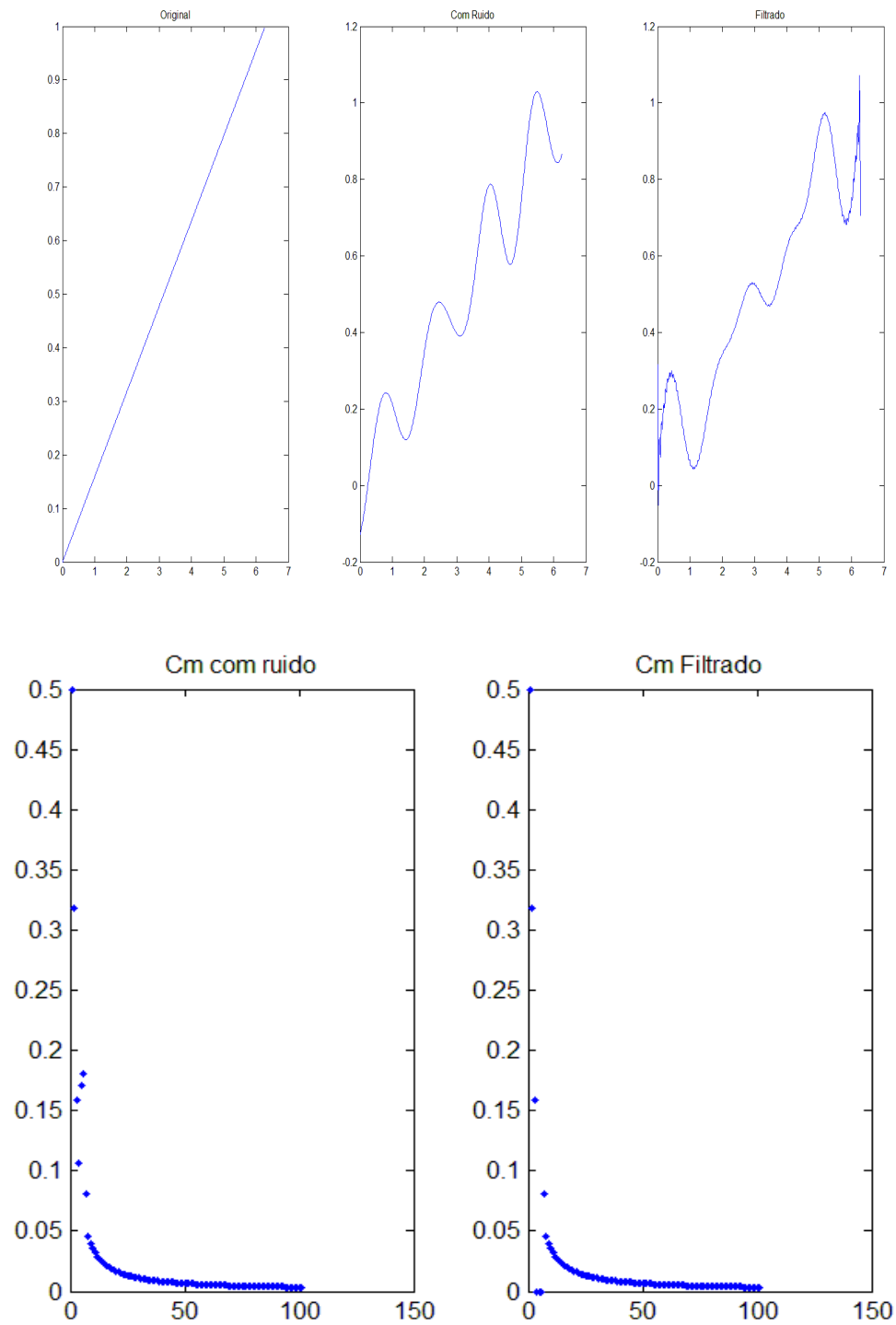
Onda quadrada unitária de período 2π com ruído aleatório:

Aplicámos um filtro passa-baixo com $w = 50$ pois podemos ver no ex.2 que a gama de m 's que definem o sinal se situa entre 0 e 50.



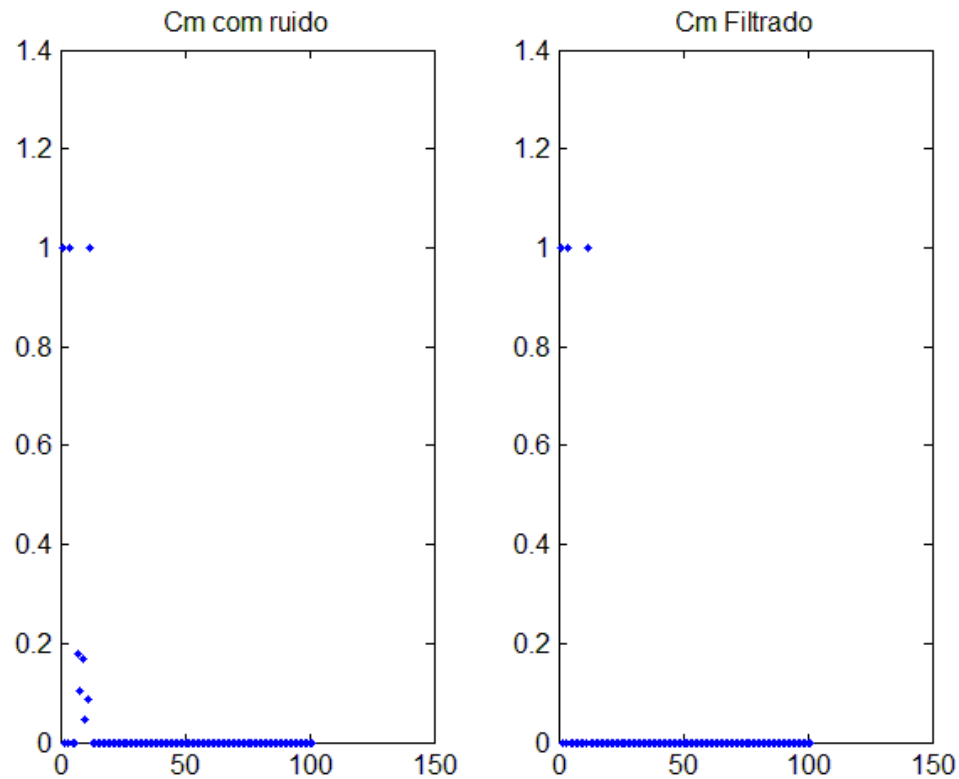
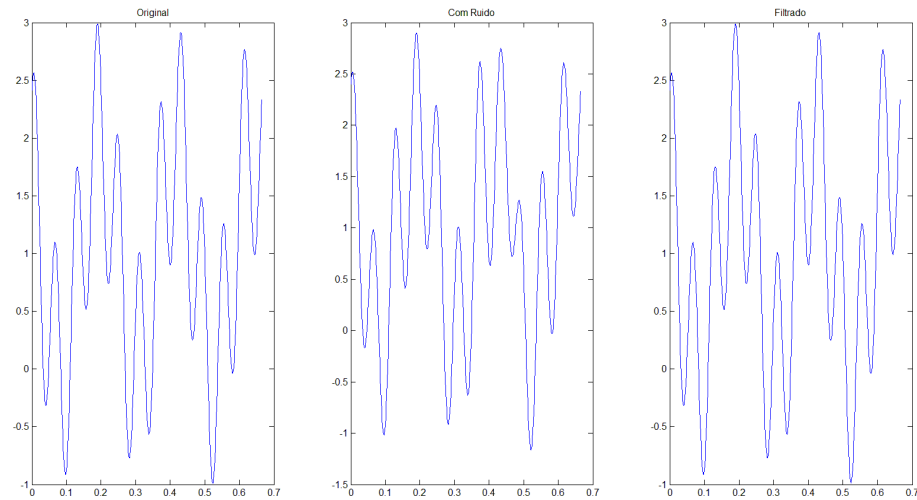
Onda em dente de serra de período 2π com ruído aleatório na gama w contido em $[4,6]$ rad/s:

Aplicámos um filtro rejeita-banda de modo a remover a banda em que introduzimos ruído.



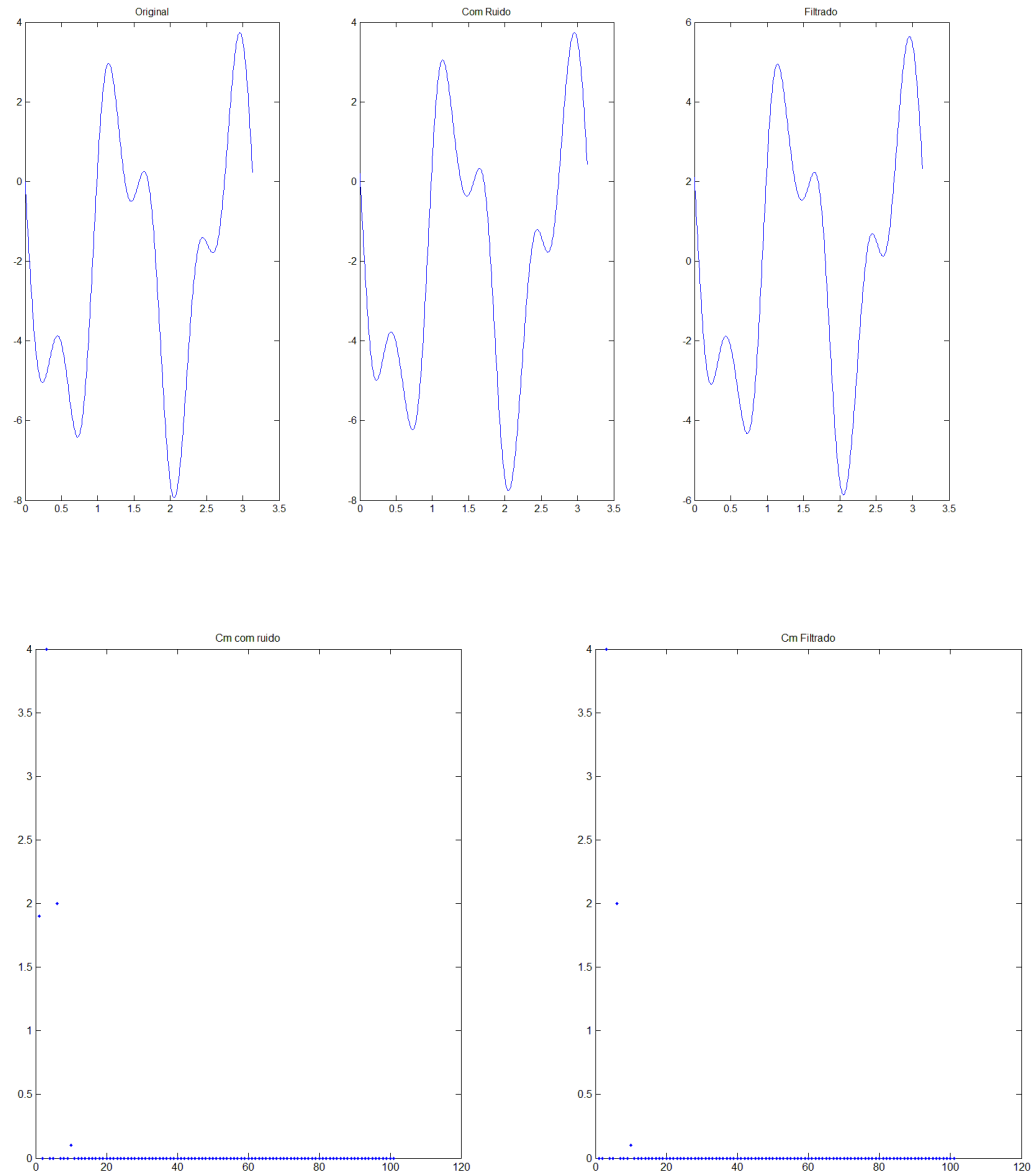
Onda $x(t) = 1 + 2\text{mod}(13, 2)\sin(12\pi t + \frac{\pi}{4})\cos(21\pi t) + 2\text{mod}(14, 2)\cos(20\pi t - \frac{\pi}{4})\sin(45\pi t)$ com ruído aleatório na gama w contido em $[20\pi, 30\pi]$ rad/s:

Aplicámos um filtro rejeita-banda de modo a remover a banda em que introduzimos ruído.



Onda $x(t) = -2 + 4\cos(4t + \frac{\pi}{3}) - 2\sin(10t)$ com ruído $= 0.2\cos^2(9t)$:

Aplicámos um filtro rejeita-banda de modo a remover a banda em que introduzimos ruído, que podemos deduzir a partir da velocidade angular da expressão de ruído, que é $w=2$.

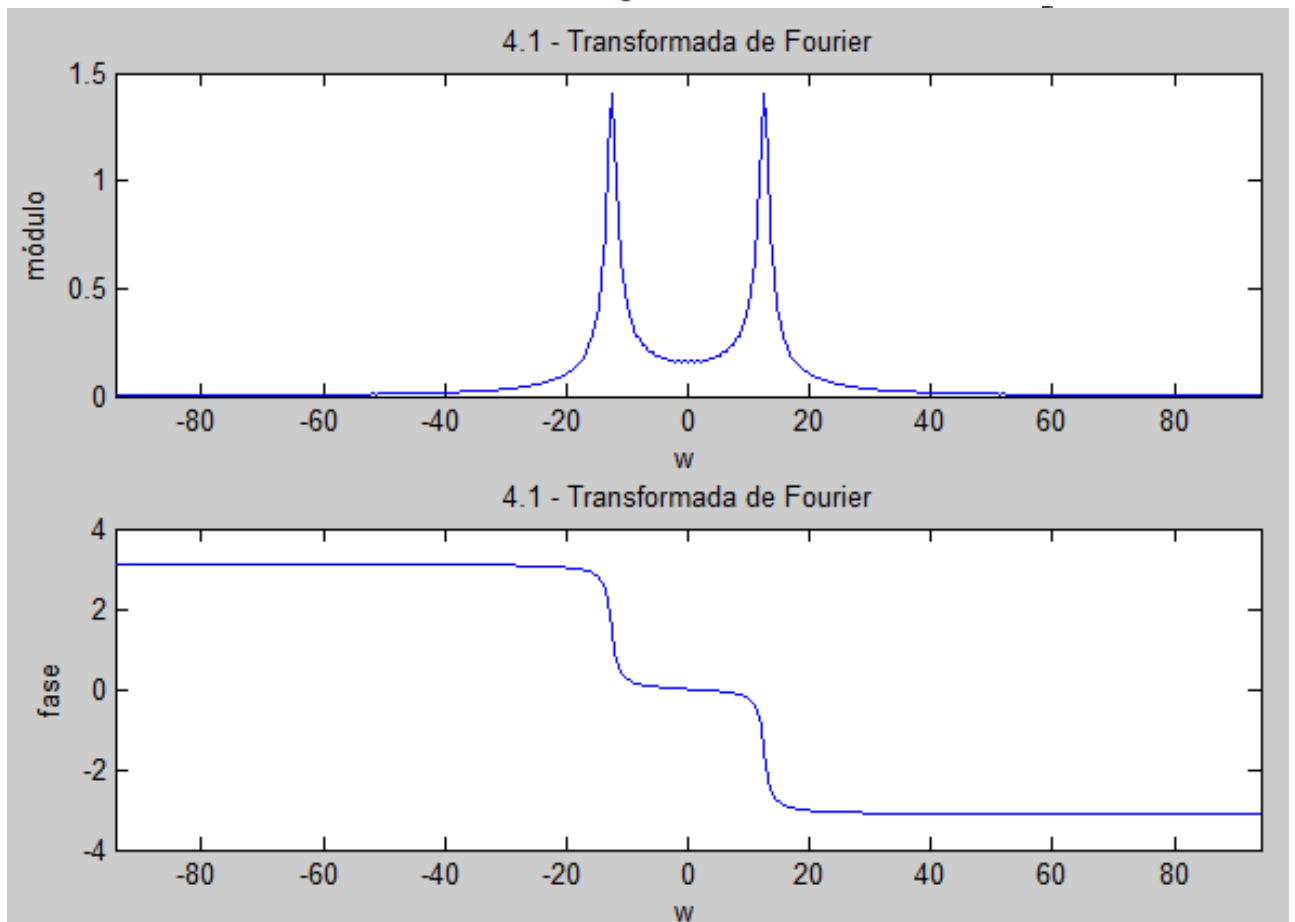


Exercício 4

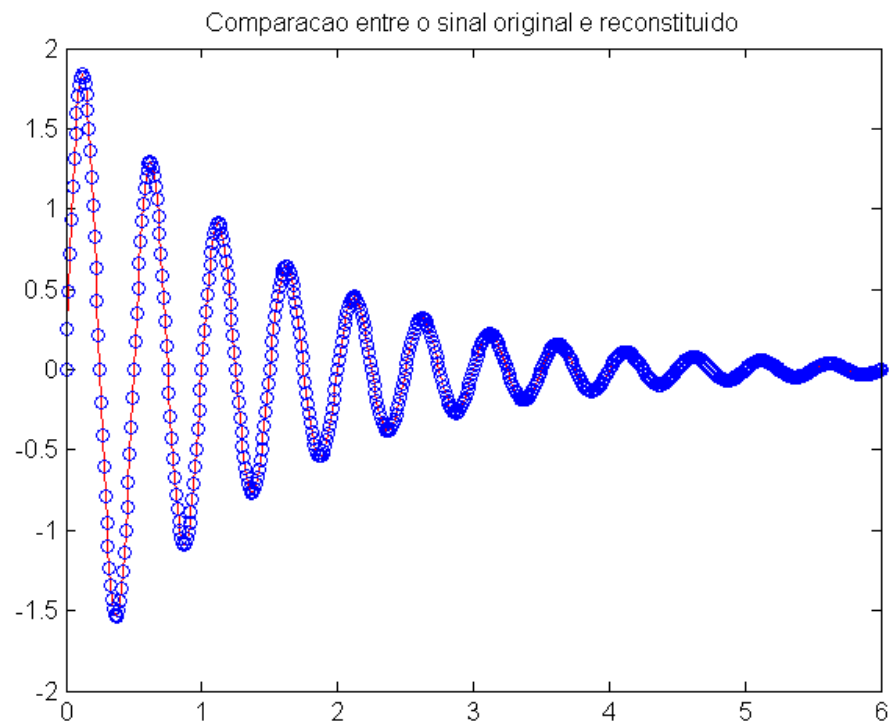
4.1) Para calcular a fórmula da Transformada de Fourier foi utilizada a fórmula apresentada no enunciado.

Representação gráfica em função da frequência angular entre -30π e 30π rads/s, com um intervalo de :

$$\frac{8 \pi \exp(-6 w i) \exp(-21/5) (\exp(6 w i) \exp(21/5) - 1)}{16 \pi^2 - w^2 + \frac{7 i w}{5} + 49/100}$$

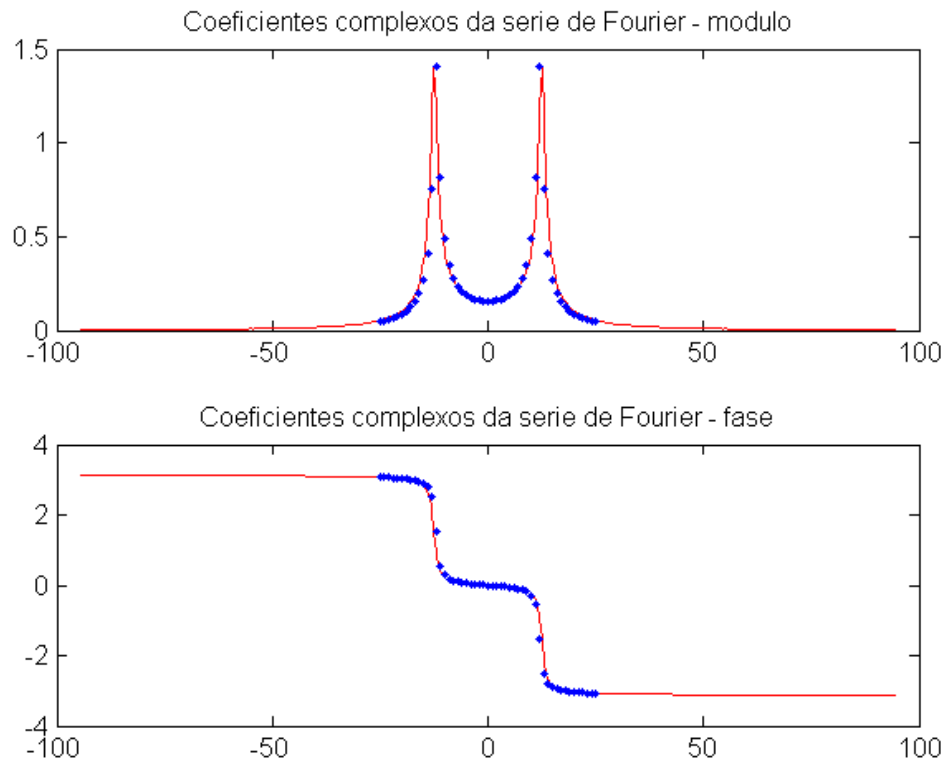


4.2) O Matlab não consegue encontrar um integral para a função inversa, embora o mesmo exista. Por este motivo, foi utilizada a função ifourier para reconstruir o sinal original, recorrendo à expressão obtida em 4.1. Assim, foi possível obter o gráfico seguinte, que compara o sinal original ao reconstituído:



4.3) Para obter os coeficientes da série de Fourier complexa, foi criado um vector -25:25, que foi utilizado na substituição dos elementos da expressão da transformada de Fourier, sendo que:

$$C_m = \frac{X(m \times \omega_0)}{T_0}, \omega_0=1, T_0=2\pi$$

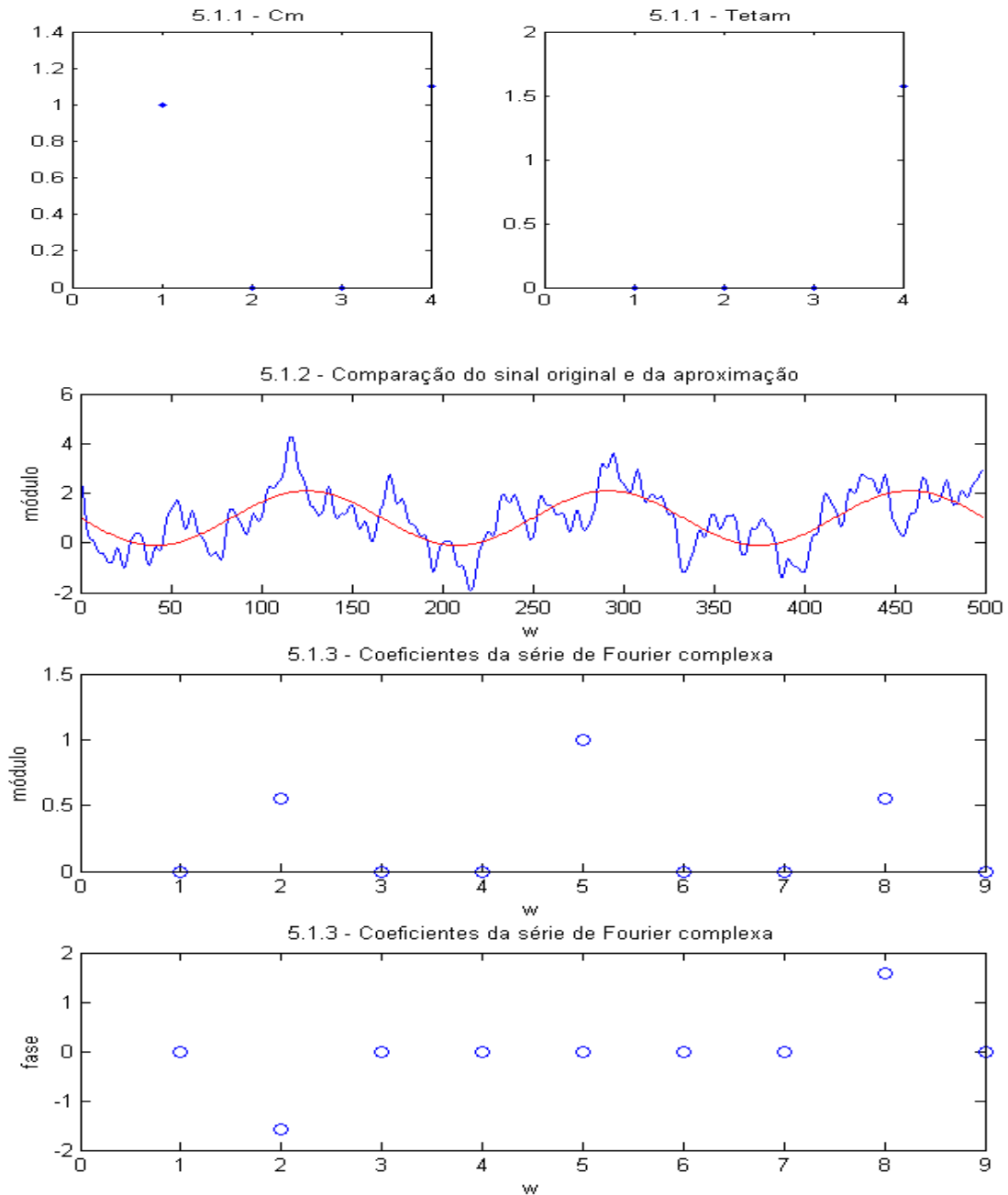


Exercício 5

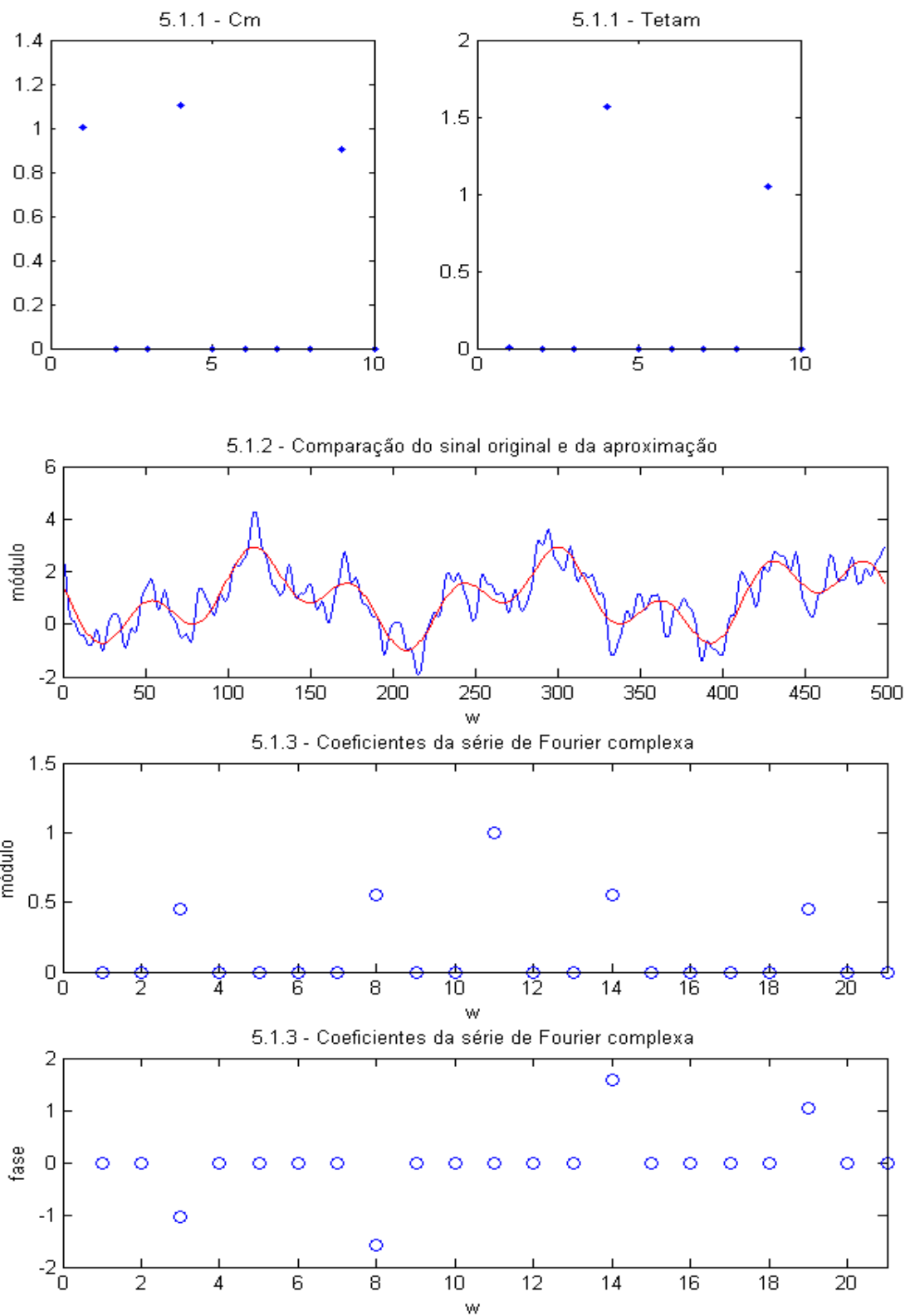
5) Como o número do nosso grupo é 13, o ficheiro utilizado foi dadostp2_2.dat.

Foram realizados vários testes, para vários valores de m , sendo apresentados de seguida, os gráficos respectivos.

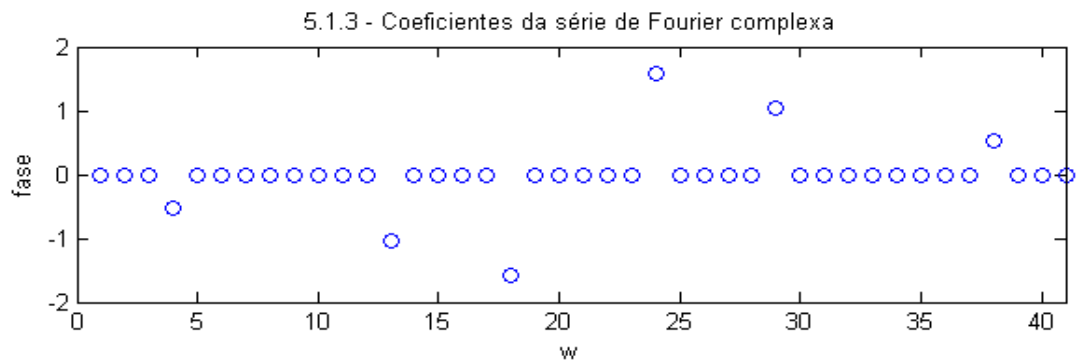
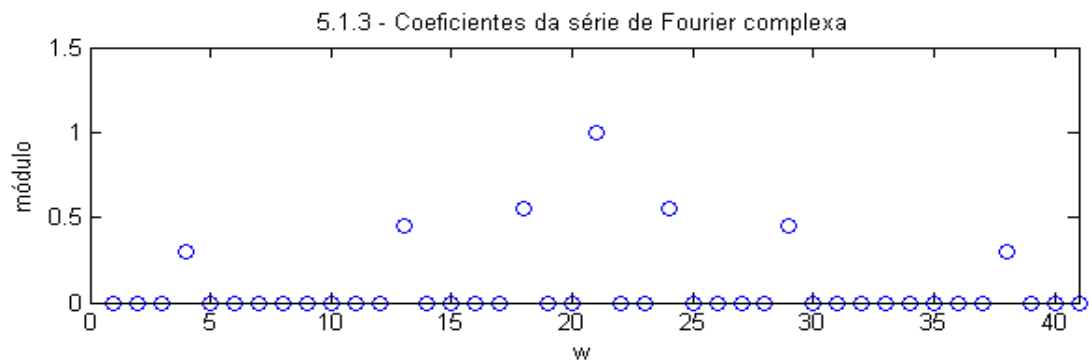
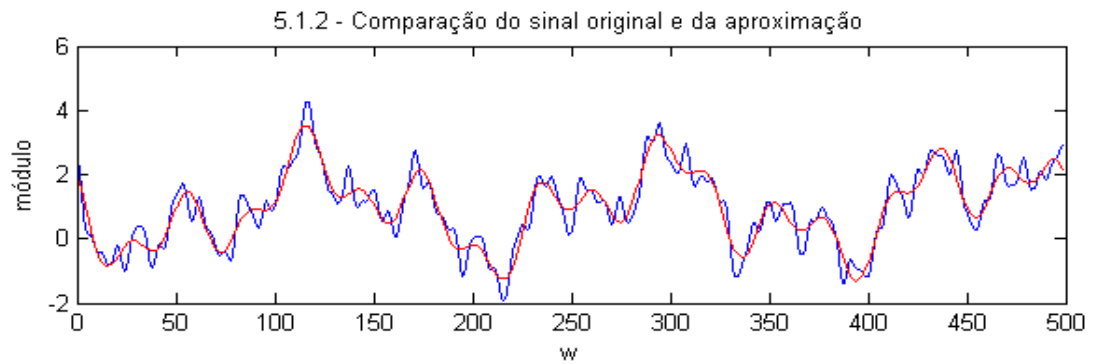
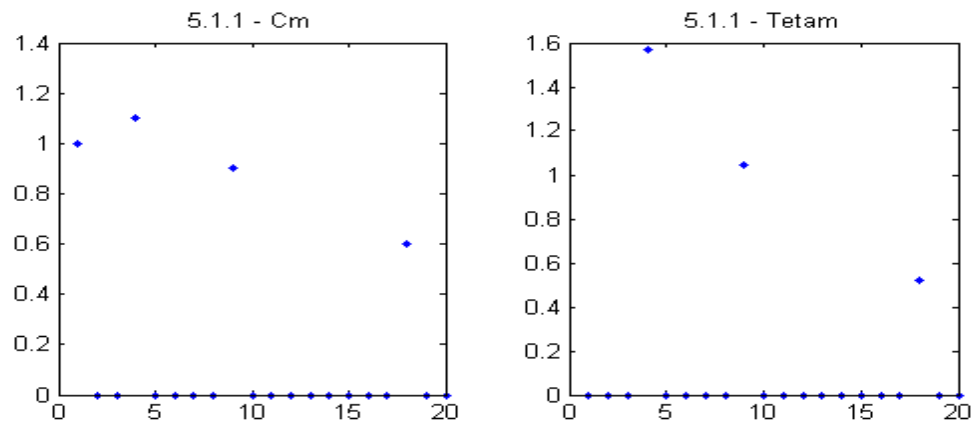
Para $m=4$:



Para $m=10$:



Para $m=20$:



Para $m=70$:

